

Оглавление

ВВЕДЕНИЕ.....	3
Глава 1. Обзор предметной области	4
1.1 РБФ-сплайн.....	4
1.2 Основные определения и обозначения	4
1.3 Популярные РБФ.....	5
Глава 2. Семейство функций $h_{\nu,n}$	6
2.1 РБФ Л. Миташа и Е. Миташевой.....	6
2.2 Функции h_{ν} и \tilde{h}_{ν}	7
2.3 Функция $h_{\nu,n}$	8
2.4 Связь функции $h_{\nu,n}$ с функциями Л. Миташа и Е. Миташевой.....	8
Глава 3. Реализация вычисления функций $h_{\nu,n}$	9
3.1 Общий случай.....	9
3.2 Вычисление функции h_{ν}	9
3.3 Особенности вычисления $h_{\nu,n}$	10
3.3.1 Вычисление $h_{-n,n}$	10
3.3.2 Вычисление $h_{-n-1/2,n}$	11
ЗАКЛЮЧЕНИЕ.....	13
СПИСОК ЛИТЕРАТУРЫ.....	14

ВВЕДЕНИЕ

Целью данной дипломной работы является реализация на языке программирования и последующая оптимизация новых радиальных базисных функций (РБФ), предложенных Роженко А. И. в [1], которые могут быть использованы в качестве базисных функций в многомерных сплайнах. Данные функции являются обобщением РБФ для сплайна с натяжением и регуляризованного сплайна, введённых Л. Миташем и Е. Миташевой в [2].

Радиальные функции используются для построения РБФ-сплайнов при решении задачи аппроксимации данных. Данный метод напоминает размещение резиновой мембраны между опорными точками и одновременно уменьшение общей кривизны поверхности. Выбор конкретной базисной функции определяет поведение этой мембраны между значениями.

Радиальные базисные функции часто используются для создания сглаженных поверхностей из большого количества расчетных данных. Также с их помощью можно создавать слабо изменяющиеся поверхности, например поверхности высот, благодаря чему РБФ-сплайны активно используются в геоинформационных системах (ГИС). В число других задач, решаемых с помощью РБФ, входят реконструкция изображений, подавление шума в данных и др. Кроме того, с их помощью решаются такие важные проблемы, как создание трёхмерных изображений при ультразвуковом исследовании в медицине и проектирование крыльев самолётов. Всё это доказывает важность исследований методов приближения РБФ-сплайнами.

Перед автором данной дипломной работы была поставлена задача – реализовать радиальные базисные функции, предложенные в [1], на языке программирования C#, провести оптимизацию полученных решений и включить их в библиотеку SDM. Для реализации были использованы: интегрированная среда разработки Microsoft Visual Studio 2010, а также программный пакет Scilab, как средство для построения графиков.

Глава 1. Обзор предметной области

В данной главе будут предоставлены базовые сведения по интерполяции сплайнами на основе РБФ, введены основные определения, а также приведены примеры наиболее известных радиальных базисных функций.

1.1 РБФ-сплайн

Если некоторая функция $\Phi(s, t)$ зависит только от расстояния между точками s и t , то она называется *радиальной базисной функцией*. То есть, $\Phi(s, t)$ – РБФ, если

$$\Phi(s, t) = \phi(|s - t|),$$

где s и t из пространства \mathbb{R}^d , $|s - t|$ – Евклидово расстояние между точками s и t .

Обычно аргумент $|s - t|$ записывают, как r , тем самым сокращая запись до $\phi(r)$. Саму функцию ϕ называют порождающей функцией для Φ , а точку t – центральной точкой.

РБФ-сплайном на сетке с узлами $x_i \in \mathbb{R}^d$, $i = 1, \dots, N$ называют конструкцию вида

$$\sigma(x) = \sum_{i=1}^N \lambda_i \phi(|x - x_i|) + p(x)$$

где $\phi \in C[0, \infty)$ – РБФ, $\lambda_i \in \mathbb{R}$ – произвольные значения, $p(x)$ – функция из заданного конечномерного линейного пространства \mathcal{P} непрерывных функций.

1.2 Основные определения и обозначения

Пространство \mathcal{P} называется *трендом сплайна*. Обычно $\mathcal{P} = \mathbb{P}_{m-1}^d$, т.е. пространство полиномов степени меньше $m \in \mathbb{Z}_+$ на \mathbb{R}^d . Тренд определяет поведение сплайна между узлами и на бесконечности.

Функция $\phi(r)$ называется *условно положительно определённой на \mathbb{R}^d относительно \mathcal{P}* , если для любых различных точек $y_i \in \mathbb{R}^d$ и коэффициентов (среди которых есть хотя бы один ненулевой) $\mu_i \in \mathbb{R}$, $i = 1, \dots, M$, $M \in \mathbb{N}$, таких что

$$\sum_{i=1}^M \mu_i p(y_i) = 0 \quad \forall p \in \mathcal{P},$$

выполняется

$$\sum_{i=1}^M \sum_{j=1}^M \mu_i \mu_j \phi(|y_i - y_j|) > 0.$$

Если $\mathcal{P} = \mathbb{P}_{m-1}^d$, то $\phi(r)$ называется *условно положительно определённой порядка m на \mathbb{R}^d* .

Обозначим через \mathcal{R}_m^d множество всех условно положительно определённых РБФ порядка m на \mathbb{R}^d . Очевидно, что $\mathcal{R}_{m_1}^{d_1} \subset \mathcal{R}_m^d$ при $m_1 \leq m$ и $d_1 \geq d$. Таким образом, можно ввести обозначение $\mathcal{R}_m^\infty := \bigcap_{d=1}^\infty \mathcal{R}_m^d$. Функции из \mathcal{R}_m^∞ имеют прямую связь с вполне монотонными функциями. Функцию $f \in C^\infty(0, \infty)$ называют вполне монотонной, если $(-1)^k f^{(k)} \geq 0 \forall k \in \mathbb{Z}_+$.

Обозначим через \mathcal{M}_m множество функций $f \in C^\infty(0, \infty)$, имеющих вполне монотонную производную $(-1)^m f^{(m)}$. Известно, что если функция $f \in \mathcal{M}_m$ ограничена в нуле и $f^{(m)}$ не константа, то $f(r^2) \in \mathcal{R}_m^\infty$. И обратно, $\phi(\cdot) \in \mathcal{R}_m^\infty \Rightarrow \phi(\sqrt{\cdot}) \in \mathcal{M}_m$ [3, 4].

1.3 Популярные РБФ

Приведём список наиболее распространённых РБФ.

1) *Мультиквadratic*

$$\begin{aligned} \phi(r) &= (-1)^{|v|+1} (r^2 + c^2)^v, \\ v &\in \mathbb{R} \setminus \mathbb{Z}_+, v > 0. \end{aligned}$$

2) *Обратный мультиквadratic*

$$\begin{aligned} \phi(r) &= (r^2 + c^2)^v, \\ v &\in \mathbb{R} \setminus \mathbb{Z}_+, v < 0. \end{aligned}$$

3) *Полигармонический сплайн*

$$\begin{aligned} \phi(r) &= (-1)^{v+1} r^{2v} \ln r, \\ v &\in \mathbb{N}. \end{aligned}$$

4) *Сплайн тонкой пластины*. Данный сплайн является частным случаем полигармонического сплайна при $v = 1$, а его РБФ имеет вид

$$\phi(r) = r^2 \ln r.$$

5) *DMM-сплайн*

$$\begin{aligned} \phi(r) &= (-1)^{v+1} (r^2 + c^2)^v \ln(r^2 + c^2), \\ v &\in \mathbb{Z}_+. \end{aligned}$$

Отметим также, что каждая из перечисленных функций $\phi(r)$ принадлежит $\mathcal{M}_{(|v|+1)_+}$, где $(k)_+ = \max\{k, 0\}$.

Глава 2. Семейство функций $h_{\nu,n}$

В данной главе будут рассмотрены функции, послужившие основой для создания нового семейства функций $h_{\nu,n}$, сведения о котором также будут представлены.

2.1 РБФ Л. Миташа и Е. Миташевой

В своей работе [2] Любош Миташ и Елена Миташева, работающие в университете штата Северная Каролина, ввели сплайны, которые и послужили основой для разработки новых РБФ, реализация вычисления которых является целью данной дипломной работы. Перечислим радиальные базисные функции этих сплайнов:

1) *Сплайн с натяжением*

$$\phi(r) = \frac{1}{2\varphi^3} (1 - \varphi r - e^{-\varphi r}), \quad d = 1,$$

$$\phi(r) = -\frac{1}{2\pi\varphi^2} \left[\ln\left(\frac{\varphi r}{2}\right) + \gamma + K_0(\varphi r) \right], \quad d = 2,$$

где K_0 – модифицированная функция Бесселя второго рода нулевого порядка (см., напр., [5]); γ – константа Эйлера, равная примерно 0.577215.

2) *Регуляризованный сплайн*

$$\phi(r) = \frac{1}{2\pi} \left\{ \frac{r^2}{4} \left[\ln\left(\frac{r}{2\tau}\right) + \gamma - 1 \right] + \tau^2 \left[K_0\left(\frac{r}{\tau}\right) + \gamma + \ln\left(\frac{r}{2\tau}\right) \right] \right\}, \quad d = 2,$$

$$\phi(r) = \frac{\tau^2}{2\pi r} \left[e^{-r/\tau} - 1 + \frac{r}{\tau} - \frac{r^2}{2\tau^2} \right], \quad d = 3.$$

Параметр φ представляет собой *обобщённый параметр натяжения*. Его влияние на получаемый сплайн продемонстрировано на Рисунке 1. Чем больше значение φ , тем меньше расстояние, на котором каждая точка вносит свой вклад в вид интерполянта. При построении данного графика использовался сплайн с трендом 37, и, как видно из рисунка, при больших значениях параметра натяжения значения сплайна между точками приближаются к тренду. При небольших же значениях φ возможны сильные скачки интерполянта между точками. Влияние параметра τ является обратным к φ .

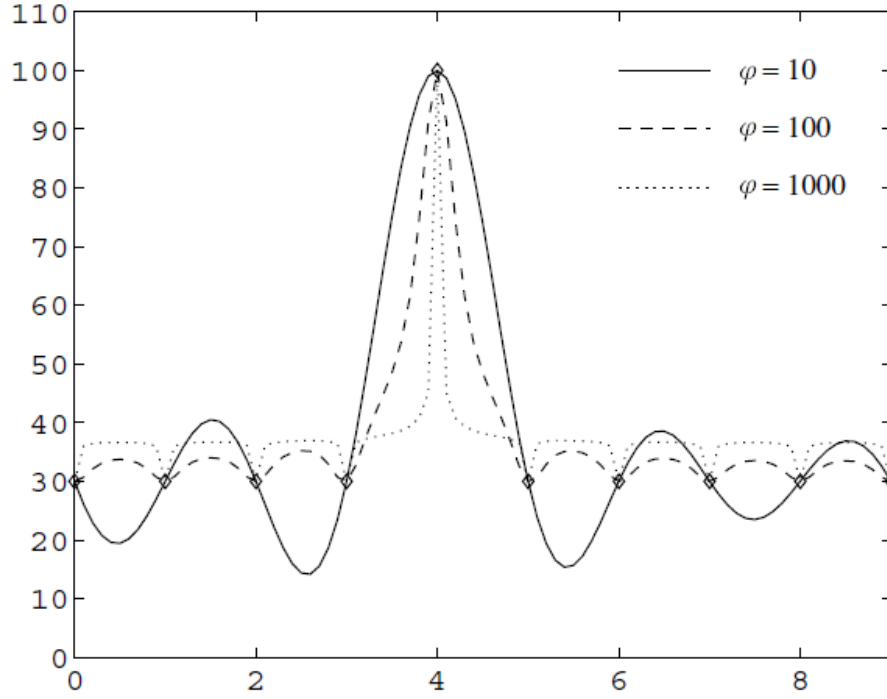


Рисунок 1. Влияние параметра φ в сплайне с натяжением на вид интерполирующей функции.

2.2 Функции h_ν и \tilde{h}_ν

Чтобы определить семейство $h_{\nu,n}$, необходимо ввести два вспомогательных семейства функций $h_\nu(t)$ и $\tilde{h}_\nu(t)$. Функции $h_\nu(t)$ определяются по формуле

$$h_\nu(t) = t^{\nu/2} K_\nu(\sqrt{t}),$$

где K_ν – модифицированная функция Бесселя второго рода порядка ν (см., напр., [5]).

В случае $\nu = n \in \mathbb{Z}_+$ существует разложение в степенной ряд функции $h_\nu \in \mathcal{M}_0$, имеющее вид [1]

$$h_n(t) = 2^{n-1} \sum_{k=0}^{n-1} \frac{(n-k-1)!}{k!} \left(-\frac{t}{4}\right)^k + (-1)^{n+1} \frac{t^n}{2^{n+1}} \sum_{k=0}^{\infty} \left[\ln\left(\frac{t}{4}\right) + \gamma - \psi(n+k+2) \right] \frac{\left(\frac{t}{4}\right)^k}{k!(n+k+1)!}, \quad (2.1)$$

где $\psi(n) = -\gamma + \sum_{k=1}^{n-1} k^{-1}$ (γ – константа Эйлера).

Кроме того, из равенства $K_\nu(x) = K_{-\nu}(x)$ следует

$$h_\nu(t) = t^\nu h_{-\nu}(t). \quad (2.2)$$

Функции $\tilde{h}_\nu(t) \in \mathcal{M}_{(\lfloor \nu \rfloor + 1)_+}$ определяются по формуле

$$\tilde{h}_\nu(t) = \begin{cases} \frac{\Gamma(-\nu)t^\nu}{2^{\nu+1}}, & \nu \in \mathbb{R} \setminus \mathbb{Z}_+ \\ (-1)^{\nu+1} \frac{t^\nu [\ln(\frac{t}{4}) - \psi(1) - \psi(\nu+1)]}{\nu! 2^{\nu+1}}, & \nu \in \mathbb{Z}_+ \end{cases} \quad (2.3)$$

где Γ – гамма-функция.

2.3 Функция $h_{\nu,n}$

В качестве обобщения РБФ из 2.1 в [1] было предложено семейство функций $h_{\nu,n}(t) \in \mathcal{M}_{(\lfloor \nu \rfloor + n + 1)_+}$. Данное семейство определяется рекуррентно по формулам

$$\begin{aligned} h_{\nu,0}(t) &= \tilde{h}_\nu(t) - h_\nu(t), \\ h_{\nu,n}(t) &= \frac{\tilde{h}_{\nu+n}(t)}{n! 2^n} - h_{\nu,n-1}(t), \quad n = 1, 2, \dots \end{aligned}$$

что эквивалентно формуле

$$h_{\nu,n}(t) = (-1)^{n+1} \left(h_\nu(t) - \sum_{k=0}^n (-1)^k \frac{\tilde{h}_{\nu+k}(t)}{k! 2^k} \right). \quad (2.4)$$

В [1] сформулирована и доказана теорема о предельных значениях функции $h_{\nu,n}(t)$ при малых значениях t . В теореме утверждается, что

$$h_{\nu,n}(t) \sim \begin{cases} \frac{\tilde{h}_{\nu+n+1}(t)}{(n+1)! 2^{n+1}}, & \nu \leq -n-1 \\ O(1), & -n-1 < \nu < 0 \\ o(1), & \nu = 0 \\ (-1)^{n+1} \Gamma(\nu) 2^{\nu-1}, & \nu > 0 \end{cases}$$

2.4 Связь функции $h_{\nu,n}$ с функциями Л. Миташа и Е. Миташевой

Прежде всего, стоит обратить внимание на то, как соотносятся аргументы функций, r и t . Имеет место следующая связь между $f \in \mathcal{M}_m$ и $\phi \in \mathcal{R}_m^d$

$$\phi(r) = f((ar)^2 + b^2), \quad (2.5)$$

где $b \neq 0$, если функция не ограничена в нуле. При этом к функции ϕ можно добавить любой полином $p(r^2) \in \mathbb{P}_{m-1}^1$, не влияющий на принадлежность f к \mathcal{M}_m .

Учитывая это, функция $h_{1-\frac{d}{2},0} \in \mathcal{M}_{(\lfloor 1-\frac{d}{2} \rfloor + 1)_+}$ соответствует РБФ сплайна с натяжением при $d = 1, 2$, а функция $h_{1-\frac{d}{2},1} \in \mathcal{M}_{(\lfloor 1-\frac{d}{2} \rfloor + 2)_+}$ – РБФ регуляризованного сплайна при $d = 2, 3$.

Глава 3. Реализация вычисления функций $h_{\nu,n}$

В данной главе будут рассмотрены методы вычисления функции $h_{\nu,n}$, пригодные для практического использования, будут обсуждены некоторые возникшие проблемы и их решения.

3.1 Общий случай

В общем случае используется формула (2.4), которую, с учётом (2.3), можно представить в виде

$$h_{\nu,n}(t) = (-1)^{n+1} \left(h_{\nu}(t) - \frac{(-1)^{\nu+1} t^{\nu} \ln\left(\frac{t}{4}\right)}{2^{\nu+1}} \sum_{k \in K} \frac{(-1)^k}{k! (\nu+k)! 4^k} t^k - \frac{t^{\nu}}{2^{\nu+1}} \sum_{l \in L} \frac{(-1)^l \Gamma(-\nu-l)}{l! 4^l} t^l \right),$$

$$I = \{i \in \mathbb{Z}, 0 \leq i \leq n\},$$

$$K = \{k \in I, \nu+k \in \mathbb{Z}_+\}, L = \{l \in I, \nu+l \in \mathbb{R} \setminus \mathbb{Z}_+\}, \quad (3.1)$$

в которой также опущены константы, добавляемые к $\ln\left(\frac{t}{4}\right)$ в формуле для $\tilde{h}_{\nu}(t)$ в случае $\nu \in \mathbb{Z}_+$.

3.2 Вычисление функции h_{ν}

Для практических задач важны случаи вычисления функции h_{ν} для целых и полуцелых значений ν . В случае $\nu = n \in \mathbb{Z}_+$ применяется рекуррентное определение

$$h_0(t) = K_0(\sqrt{t}),$$

$$h_1(t) = \sqrt{t} K_1(\sqrt{t}),$$

$$h_{n+1}(t) = t h_{n-1}(t) - 2n h_n(t).$$

В случае $\nu = n + \frac{1}{2}, n \in \mathbb{Z}_+$ применяется формула [5]

$$h_{n+\frac{1}{2}}(t) = \sqrt{\pi/2} e^{-\sqrt{t}} \sum_{k=0}^n \frac{(n+k)!}{k!(n-k)! 2^k} t^{\frac{n-k}{2}}. \quad (3.2)$$

При отрицательных значениях ν используется формула (2.2). Для вычисления модифицированных функций Бесселя второго рода порядков 0 и 1 были использованы дробно-рациональные приближения из библиотеки Boost / Math / Special Functions [7].

3.3 Особенности вычисления $h_{\nu,n}$

В разделе 2.4 была рассмотрена связь (2.5), из которой следует важность умения верно рассчитывать значение функции в нуле. В данном разделе будет рассмотрено вычисление функции $h_{\nu,n}$ при $t \rightarrow 0$ в случаях $\nu + n = 0$ и $\nu + n = -\frac{1}{2}$. В данных случаях возникает разница больших значений, которая мала, т. е. возникает потеря точности. Поэтому были проведены эксперименты с альтернативными способами вычисления таких функций в окрестности нуля с целью выяснить, насколько точны прямые расчётные формулы.

3.3.1 Вычисление $h_{-n,n}$

Для вычисления функции $h_{\nu,n}$ в случае $\nu + n = 0$ было решено использовать формулу (2.1), что привело к формуле

$$h_{-n,n}(t) = -\frac{\psi(n+1)+\gamma}{2^{n+1}n!} + \frac{1}{2^{n+1}} \sum_{k=1}^{\infty} \left[\ln\left(\frac{t}{4}\right) - \psi(k+1) - \psi(n+k+1) \right] \frac{\left(\frac{t}{4}\right)^k}{k!(n+k)!}. \quad (3.3)$$

При $t < 4$ ряд знакопостоянный и быстро сходится, поэтому был проведен сравнительный эксперимент вычисления функции $h_{0,0}$ на отрезке $(0; 4)$ с помощью формул (3.1) и (3.3). Результаты этого эксперимента показаны в таблице 1, где $\delta = |h_{0,0(3.1)} - h_{0,0(3.3)}|$.

Таблица 1. Сравнение результатов расчёта функции $h_{-n,n}(t)$ при $t < 4$ с помощью прямой и альтернативной формул

t	$h_{0,0(3.1)}$	$h_{0,0(3.3)}$	δ
1e-10	-3,15723e-10	-3,15721e-10	1,13469e-15
1e-9	-2,86939e-09	-2,86939e-09	7,26527e-16
1e-8	-2,58157e-08	-2,58157e-08	2,30052e-15
1e-7	-2,29374e-07	-2,29374e-07	5,87277e-16
1e-6	-2,00592e-06	-2,00592e-06	5,37645e-16
1e-5	-1,7181e-05	-1,7181e-05	9,62199e-16
1e-4	-1,43029e-04	-1,43029e-04	1,13028e-17
1e-3	-1,14253e-03	-1,14253e-03	3,40656e-16
1e-2	-8,55242e-03	-8,55242e-03	2,2031e-16
1e-1	-5,71143e-02	-5,71143e-02	7,63278e-17
1	-3,05093e-01	-3,05093e-01	5,55112e-17
2	-4,69784e-01	-4,69784e-01	5,55112e-17

3	-5,92307e-01	-3,50837e-02	1,99928e-02
---	--------------	--------------	-------------

Как видно из таблицы, прямая формула (3.1) имеет достаточную точность, стало быть, можно использовать её. В случае же $t < \epsilon$ (машинный эпсилон) используется формула (3.2), в которой используется только первая константа и первый член ряда, т.е.

$$h_{-n,n} = -\frac{\psi(n+1) + \gamma}{2^{n+1}n!} + \frac{\left(\ln\left(\frac{t}{4}\right) - \psi(2) - \psi(n+2)\right)t}{2^{n+3}}.$$

3.3.2 Вычисление $h_{-n-\frac{1}{2},n}$

Для вычисления функции $h_{v,n}$ в случае $v+n = -\frac{1}{2}$ было решено использовать формулу (3.2), что привело к формуле

$$h_{-n-\frac{1}{2},n}(t) = (-1)^{n+1} \sum_{k=0}^n \sqrt{\frac{\pi}{2}} \frac{1}{k!(n-k)!} \left(e^{-\sqrt{t}} \frac{(n+k)!}{2^k} t^{-\frac{n+k+1}{2}} - \frac{(-1)^k (2(n-k))!}{2^n} t^{k-n-\frac{1}{2}} \right), \quad (3.4)$$

в которой $e^{-\sqrt{t}}$ раскладывается в ряд Тейлора

$$e^{-\sqrt{t}} = \sum_{l=0}^{\infty} \frac{(-\sqrt{t})^l}{l!}.$$

Был проведён сравнительный эксперимент вычисления функции $h_{-\frac{1}{2},0}$ на отрезке $(0; 5)$ с помощью формул (3.1) и (3.4). Отрезок был выбран произвольно. Результаты этого эксперимента показаны в таблице 2, где $\delta = \left| h_{-\frac{1}{2},0(3.1)} - h_{-\frac{1}{2},0(3.4)} \right|$.

Таблица 2. Сравнение результатов расчёта функции $h_{-n-\frac{1}{2},n}(t)$ при $t \leq 5$ с помощью прямой и альтернативной формул

t	$h_{-\frac{1}{2},0(3.1)}$	$h_{-\frac{1}{2},0(3.4)}$	δ
1e-10	1,25331e+00	1,25331e+00	7,18314e-13
1e-09	1,25329e+00	1,25329e+00	1,63469e-12
1e-08	1,25325e+00	1,25325e+00	1,68754e-14
1e-07	1,25312e+00	1,25312e+00	4,84057e-14
1e-06	1,25269e+00	1,25269e+00	3,77476e-14
1e-05	1,25133e+00	1,25133e+00	1,9984e-15
1e-04	1,24707e+00	1,24707e+00	6,66134e-15
1e-03	1,2337e+00	1,2337e+00	2,22045e-16

1e-02	1,19269e+00	1,19269e+00	8,88178e-16
1e-01	1,07448e+00	1,07448e+00	2,22045e-16
0,5	8,98512e-01	8,98512e-01	2,22045e-16
1	7,92246e-01	7,92246e-01	1,11022e-16
2	6,7077e-01	6,7077e-01	0,0e+00
3	5,95581e-01	5,95581e-01	0,0e+00
4	5,41848e-01	5,41848e-01	1,11022e-16
5	5,00594e-01	5,00594e-01	1,11022e-16

Из таблицы видно, что прямая формула (3.1) имеет достаточную точность, поэтому можно использовать её. В случае же $t < \epsilon$ используется формула (3.4), в которой используются первые члены разложения экспоненты в ряд, что приводит к некоторым частным формулам

$$h_{-\frac{1}{2},0}(t) = \sqrt{\frac{\pi}{2}} \left(1 - \frac{\sqrt{t}}{2} \right),$$

$$h_{-\frac{3}{2},1}(t) = \sqrt{\frac{\pi}{2}} \left(\frac{5}{6} - \frac{\sqrt{t}}{6} \right).$$

ЗАКЛЮЧЕНИЕ

Поставленные перед автором дипломной работы задачи были успешно выполнены, а именно:

- 1) изучены и проанализированы функции $h_{v,n}$, предложенные в [1];
- 2) получены формулы вычисления функции $h_{v,n}$, удобные для программной реализации;
- 3) написан и протестирован программный код вычисления функции $h_{v,n}$, добавленный в библиотеку SDM.

СПИСОК ЛИТЕРАТУРЫ

1. A.I. Rozhenko, On new families of radial basis functions // Proc. Int. Conf. “Constructive theory of functions – 2013”, Sozopol, June 9–15, 2013 (to appear).
2. L. Mitáš, H. Mitášová, General variational approach to the interpolation problem, *Comput. Math. Applic.* 16 (12) (1988), 983–992.
3. C.A. Micchelli, Interpolation of scattered data: distance matrices and conditionally positive definite functions, *Constr. Approx.* 2 (1986), 11–22.
4. H. Wendland, “Scattered Data Approximation”, *Cambridge Monographs on Appl. and Comput. Math.*, Vol. 17, Cambridge University Press, Cambridge, 2005.
5. Abramowitz, M. et Stegun, I.A., *Handbook of Mathematical Functions*, Dover. Publications, New York, 1965.
6. R.N. Rohling, A.H. Gee, L. Berman, Radial basis function interpolation for 3-D ultrasound. Technical report CUED/F-INFENG/TR 327, Cambridge University Department of Engineering, 1998.
7. Boost C++ Libraries. URL: <http://www.boost.org> (дата обращения: 01.09.2013).